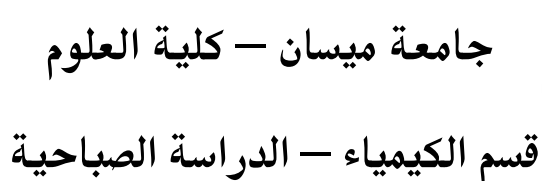


وزارة التعليم العالي و البحث العلمي





طرق تحضير حلقة البيتا-لاكتام

بحث مقدم الى كلية العلوم/ قسم الكيمياء كجزء من متطلبات نيل شهادة البكالوريوس

-باشراف:-

-من اعداد الطالبات: -

ط.م.د أسامة علي محسن

–حنین محمد ناصر.

-هدی حسین حسن.

التاريخ: - (2024–2023)



﴿ وَقُل اعْمَلُوا فَسَيَرَى اللَّهُ عَمَلَكُمْ وَرَسُولُهُ وَالْمُؤْمِنُونَ ﴾

صيّلة الله العَظِيمر

(سورة التوبة)

(اية: 105)

الشكر و التقدير

-نحمد الله عز و جل الذي وفقنا في إتمام هذا البحث العلمي، و الذي ألهمنا الصحة والعافية و العزيمة فالحمد لله حمدا كثيرا.

-يسرني ان اتقدم بالشكر والتقدير للاستاذ المشرف لتفضله بالاشراف على البحث ومتابعته المستمرة التي ساعد باخراجه بشكله الحالي ولا يفوتني ان اتقدم بالشكر الى اساتذتي في قسم علوم الكمياء لما قدموه من معرفة علمية واخيرا شكري وتقديري الى جميع من ساعدنى في اعداد هذا البحث.

-حنين محمد ناصر .

-هدی حسین حسن .

الاهداء

إلهي لا يطيب الليل إلا بشكرك ولا يطيب النهار إلا بطاعتك.. ولا تطيب اللحظات إلا بذكرك.. ولاتطيب الآخرة إلا بعفوك.. والا تطيب الجنة إلا برؤيتك

الله جل جلاله

إلى من بلغ الرسالة وأدى الأمانة.. ونصح الأمة.. إلى نبي الرحمة ونور العالمين سيدنا محمد صلى الله عليه وآل وسلم

إلى من كلله الله بالهيبة والوقار.. إلى من علمني العطاء بدون انتظار.. إلى من أحمل أسمه بكل افتخار..أرجو من الله أن يطيل عمره ويحيطه بالصحة والعافية

والدي العزيز .

إلى ملاكي في الحياة.. إلى معنى الحب وإلى معنى الحنان والتفاني.. إلى بسمة الحياة وسر الوجود إلى من كان دعائها سر نجاحي وحنانها بلسم جراحي إلى أغلى الحبيبة

إلى الذين حملوا أقدس رسالة في الحياة إلى الذين مهدوا لنا طريق العلم والمعرفه....
أساتذتنا الأفاضل

حنين محمد ناصر.

-هدی حسین حسن .

قائمة المحتويات

الصفحة	اسم الموضوع
1	1.المقدمة
1	2.طرق تحضير حلقة البيتا-لاكتام.
18 - 2	1.2 تفاعلات staudingers للكيتين-الايمين.
22 - 18	2.2. الإضافة الحلقية للاستر اينو لات.
26 - 22	3.2 الإضافة الحلقية الالكاين-النترون.
27	4.2 الإضافة الحلقية للالكين-الايزوسيانات.
29 - 27	5.2 تفاعل توري لهاليدات الاليل مع الايمينات.
30 - 29	6.2.توسيع حلقات Aziridine .
35 - 30	N_1 - C_2 التحليق بواسطة تكوين الاصرة.
36 - 35	N_1 - C_4 التحليق بواسطة تكوين الاصرة. 8.2
39 - 37	C_3 - C_4 التحليق بواسطة تكوين الاصرة. 9.2
41 - 39	10.2 تفاعلات متعددة المكونات .
46 - 42	المصادر

1. المقدمة: ـ

حلقات البيتا-لاكتام، الاسم الذي لا يزال شائعًا للأميدات الحلقية المكونة من أربع ذرات 2-azetidinones لا تحتاج إلى تقديم للكيميائيين نظرًا لشهرتها الواسعة كمضادات حيوية محتملة وكوحدات بناء قيمة في التحضير العضوي.

تشكل البيتا-لاكتامات الفئة الأكثر أهمية من المضادات الحيوية في الطب البشري والبيطري وتشترك في أكثر من 65٪ من سوق المضادات الحيوية العالمية. كما يتم استخدامها في استخدامات سريرية أخرى، مثل حمض الكلافو لانيك كمثبط لانزيم بيتا-لاكتاميز وإيزيتيميب كمثبط لامتصاص الكوليسترول.

تم ملاحظة أنشطة حيوية أخرى مثل النشاط المضاد للسرطان والنشاط الخافض للسكري والنشاط المضاد للسل والنشاط المضاد لليشمانيا في المركبات التي تحتوي على حلقة البيتا-لاكتام.

على مر السنين، ظهرت البيتا-لاكتامات أحادية الحلقة أيضًا كوحدات بنائية مفيدة وتم استغلال فعاليتها في تحضير أنواع متنوعة من المركبات الخطية والحلقية بما في ذلك المركبات الحلقية الحيوية المعقدة ذات الأصل الطبيعي.

2. طرق تحضير حلقة البيتا لاكتام:-

طرق التحضير الرئيسية لبناء حلقة بيتا-لاكتام تشمل تفاعلات الإضافة الحلقية او تفاعلات التحليق. تشمل تفاعلات الاضافة الحلقية تفاعلات الإستر-الإينولات Staudinger الخاصة بالكيتين-الآمين، وتفاعلات الإلكاين-الإينولات، وتفاعلات الألكاين-النيترون، وتفاعلات الألكين-الإيزوسيانات، وتفاعلات Torii للاضافه الحلقية لهاليدات الأليل الى الأمينات.

 N_1 - كما تم الاشارة مؤخرًا عن التحليق الى 2- azetidinones أحادية الحلقة من خلال تكوين الاواصر N_1 - كما تم الاشارة مؤخرًا عن التحليق الى N_1 - كما و N_1 - N_1 - و N_1 - كما و N_1 - و تتضمن الطرق تكوين اصرة يكوين اصرة N_1 - استخدام استرات بيتا-أمينية محمية أو غير محمية كمادة متفاعلة .

تشمل بعض الاستراتيجيات الأخرى تحليق الأسترات بيتا-أمينية، والكحولات بيتا-أمينية. تتضمن النهج المختلفة تم تطبيقها لتخليق إسترات بيتا-أمينية.

تتكاثف إسترات hydroxamate بتكوين اصرة N_1 - C_4 . تتكاثف الأميدات ألفا-هالوجينية ذات التعويض المزدوج N_1 , بتكوين اصرة N_2 - N_3 هناك استراتيجيات أخرى لبناء حلقة البيتا-لاكتام تعتمد على توسيع حلقة aziridines أو تقليص حلقة isoxazolidines. مؤخرًا، تم أيضًا استخدام بعض التفاعلات متعددة المكونات لتحقيق الهدف.

1.2 تفاعلات Staudingers للكيتين-الإيمين:

تعتبر تفاعلات staudinger للكيتين-الإيمين أسلوبًا أساسيًا ومتعدد الاستخدامات لتخليق azetidinones-2 (المخطط 1)[1]. على الرغم من تصنيفها كتفاعل اضافة حلقية [2+2]، إلا أنها تنطوي على عملية ثنائية الخطوات.

الخطوة الأولى هي الهجوم النيوكليوفيلي للنيتروجين الإيميني على الكربون المركزي الالكتروفيلي للكيتين، الذي يتم توليده انياً من كلوريد الحامض وقاعدة، لتشكيل مرحلة وسيطة zwitterionic تليها إغلاق حلقي متزامن لإعطاء المركب الحلقي الذي يتألف من أربعة ذرات [2].

قامت Tuba مؤخرًا بمراجعة تفاعلات staudinger المحفزة بالمعادن الانتقالية [3]. في السنوات الأخيرة ، تم تطوير العديد من السبل البديلة للكيتينات، واسلاف الأزوميثين الجديدة، والمنشطات الحامضية. تم استخدام كلوريدات الأحماض الكربوكسيلية أو الأحماض الكربوكسيلية نفسها قد استخدمت كأسلاف للكيتين. تتضمن طريقة بديلة لتوليد الكيتينات تحول Wolff للكاربينات ألفا-كربونيل، التي تتم توليدها من تحلل الألفا-diazocabonyls حراريًا أو ضوئيًا [4].

تم الاشارة أيضًا الى توليد الكيتينات باستخدام التشعيع بالميكروويف والدعم البوليمري[5,6].

$$C=C=O + R^{1}-C=N-R^{2} \xrightarrow{Solvent} \begin{bmatrix} R^{1}-C=N-R^{2} \\ H & C \\ C & \Theta \end{bmatrix} \xrightarrow{R^{1}} \begin{bmatrix} R^{2} \\ R^{2} \\ C & \Theta \end{bmatrix}$$

المخطط 1

1.1.2 تطبيق سلائف الكيتين الجديدة :-

ان تفاعل كيتين كايرالي، الذي تم توليده من N-chresenyl aldimine الذي يحمل مجموعة ألفا-جليكوزيد كمساعد كايرالي، مع N-chresenyl aldimine بوجود مستحضر Mukaiyamas أدى إلى خليط كمساعد كايرالي، مع 6 التي تحتوي على جزيئات الكربوهيدرات بنسبة 70٪ مجتمعة [7]. تم فصل النواتج بواسطة الكروماتوغرافيا العمودية وإزالة جزيئات السكر بفعل الحامض أعطت النواتج النقية فصل المقابلة 6 و 7 (المخطط 2).

المخطط 2

1-amino- إن تفاعل الاضافة الحلقية [2+2] hydrazones [2+2]، المحضرة من الدهيدات الأليفاتية و -8 hydrazones [2+2] n-benzyl-n-(benzyloxycarbonyl) aminoketene مع 2,5-dimethylpyrrolidine (5R:2R مع المتولد انياً من الحامض الكربوكسيلي -90، يحدث بوجود قاعدة -11 مما يؤدي إلى الحصول على azetidinones-2 بحصيلة جيدة (المخطط -13)

R = Me, i-Pr, i-Bu, BnCH₂, n-C₅H₁₁, BnOCH₂, trans-crotyl

المخطط 3

تسير التفاعلات بتحكم فراغي ممتاز لتوفير نواتج ذات تركيب فراغي R عند الموضع C-C. لوحظ تأثير قوي لدرجة الحرارة على انتقائية التوجيه الفراغي مما يسمح في معظم الحالات بعزل مركب واحد فقط من الترانس أو السيس عن طريق إجراء التفاعلات عند 80 درجة مئوية أو درجة حرارة الغرفة على التوالي.

مثال آخر على الكيتين المعوض بالنيتروجين هو 2-(1H-Pyrrol-1-yl)ketene) و الذي يتم توليده من الألديمينات 3 Mukaiyamas مع بعض الألديمينات المعروفة 11 لتعطي مركبات 2-(1H-pyrrol-1-yl-2-3 (المخطط 4) [9] .

$$R^{1}-C=N-R^{2} + N \\ CH_{2}CO_{2}H \\ CH_{2}CO_{2}H \\ Cis:trans \\ 19-71:8-48 \\ 13$$

 R^1 = Ph, 4-MeOPh, 4-NO₂Ph R^2 = Ph, 4-MeOPh, 4-NO₂Ph, 4-MePh, *t*-Bu

المخطط 4

ان تفاعل ستودينكر لأحماض ميركابتوأسيتيك 14 مع قواعد شيف 11 بوجود كاشف فيلزماير 15 عند درجة حرارة الغرفة يؤدي لتكوين 2-azetidinones بنسبة ممتازة، ويعطي مثالًا ممتازًا على تطبيق سلائف الكيتين المعوضة بالكبريت في تفاعل staudinger (المخطط 5) [10].

تم استكشاف فعالية المجموعة الكبريتية على الموضع 3-C بشكل أعمق، وتم تحويل 3-2-17 ما 17 على المختارة إلى 2-(methylsulfonyl) و 17 المختارة إلى 2-(methylsulfinyl) تحت شروط تفاعل مختلفة.

المخطط 5

ذكر Bari وزملاؤه تحضير انتقائي diastereoselective الموضة كورملاؤه تحضير انتقائي التي الله عوضة المعرضة بشكل مناسب والكيتينات، التي تتم توليدها من السيلينيوم جديدة عن طريق تفاعل الإيمينات 11 المعوضة بشكل مناسب والكيتينات، التي تتم توليدها من أحماض السيلينيوم الاليلية والألكيلية المناسبة 19 باستخدام $POCl_3$ و Triethylamine في تولوين مغلي المخطط 6) أو البنزين [11,12]. النواتج التي تم الحصول عليها بنسب ممتازة كانت تحتوي على ترتيب هيدروجيني cis عند المواقع C-3/C-4.

 R^2 = Ph, 4-MeOPh, 4-MePh, 4-ClPh, Bn R^3 = Bn, CHPh₂, 1-naphthyl, Ph

المخطط 6

2.1.2. تطبيقات الأزوميثينات الجديدة :-

تم الاشارة مؤخراً الى تخليق سلسلة جديدة من 24 2- azetidinones تحمل جزءًا من الأنثراكينون في موضع 4-2 anthraquinone-2-carboxaldehyde-9,10 والكيتينات، C-4 باستخدام الإيمينات 22 anthraquinone-2-carboxaldehyde-9,10 و والكيتينات، التي تم إنتاجها من حمض الأسيتيك المعوض بال aryloxy و phthalimido و toluenesulfonyl chloride (المخطط 7) [13].

R¹ = 1-naphthyl, 4-MeOPh, 4-Me₂NPh R = PhO, 4-ClPhO, 1-naphthoxy, PhthN, 2,4-Cl₂PhO

المخطط 7

نقاعل الإيمينات الثنائية 25 وكلوريدات الأسيل بوجود Triethylamine يؤدي إلى تشكيل 25 وكلوريدات الأسيل بوجود regio 'chemo ورأو bis-β-lactams و bis-β-lactams و المتعاشية من التقائية انتقائية المستقدام مواد مختلفة مثل الإيمينات المتماثلة المشتقة من الكيتونات الثنائية، والإيمينات غير المتماثلة من الكيتوالدهيدات الثنائية.

تم الحصول على Bis-2-azetidinones من الإيمينات الثنائية عبر Bis-2-azetidinones عادةً ما يعيق تكوين الحلقة الأولى للبيتا-لاكتام تكوين الحلقة الثانية. لكن الكيتين الحاوية على مجاميع دافعة للالكترونات مثل ethoxyketene يمكنة التفاعل مع mono-cis-2-azetidinones تحتوي على اصرة الأزوميثين لتنتج bis-2-azetidinones .

R1 = 4-MeOPh, Ph2CH, Ph, Bn

 $R^2 = Me, H$

R = EtO, PhthN, Cl, Me

المخطط 8

اشار Tato وزملاؤه الى تفاعل staudinger للإيمينات N-nosyl و dichloroketene ، الذي تم 3-dichloro-2-azetidinones، nosyl-3-1 للإيمينات 3-dichloro-2-azetidinones، nosyl-3-1 لتنتج 1-3-dichloro-2-azetidinones، الذي تم وليده انياً من 28 dichloroacetyl chloride ، الذي تم والمخطط 9)[15].

تخضع هذه 2-azetidinones لفتح الحلقة لتنتج وحدات بنائية متعددة الفعالية. تم الاشارة الى تفاعل bis- مع بعض bis-imines بتسخين الميكروويف لتشكيل chloroacetyl chloride بتسخين الميكروويف لتشكيل 2-azetidinones [16].

R = Ph, 2-naphthyl, 4-*i*-PrPh, 3-CNPh, 2-FPh Ns = SO_2 -4-NO₂C₆H₄

المخطط 9

يتم انتاج azomthines انيا بواسطة تفاعل النحاس المحفز بين كواشف كرينيارد مع aziridine المعوضة على ذرة النتروجين، مما يحفز فتح حلقة aziridine والكلة للعوضات على المخطط 10][17].

نتفاعل هذه azomthines مع alkoxyketenes ، التي تم توليدها من كلوريدات الأسيل 33 و C-31 التشكيل C-32 معوضة عند C-3 بمجاميع الكوكسى C-3.

 $R^1 = 4$ -MeOBn, Bn, C-Hex

 $R^2 = Bn, Et, i-Pr$

R3-X = BnBr, BnCl, CH2=CHCH2Br, PMBCl, Mel, THPO(CH2)3Br, H3CCECCH2Br

R = Bn, Me

المخطط 10

2- تم استخدام 2-Chloropropan-1-ol كلائف للايزوميثان في طريقة فعالة لتحضير 35 (S)-2-Chloropropan-1-ol الكير الية 37 بنسب معقولة (32-61%، 91-61%, بعد التنقية) وبنسب عالية من الانتقائية azetidinones (PCC) والفائض البيولوجي (90%)[18]. تم أكسدة الكحول 35 باستخدام (PCC) لتكوين الألدهيد المقابل الذي عند معاملتة بمكافئ واحد من الأمينات أدى إلى تكوين 90-N-(S)-N-(S)-N-(S).

ان تفاعل الايزوميثانات 36 مع كلوريد الحامض 33 تحت شروط staudinger أدى إلى تكوين -2 azetidinones المقابلة (المخطط 11).

CI
$$RO_{OH}$$
 + RO CI Et_3N, C_6H_6 RO_{R1} RO_{R

المخطط 11

استخدام N-phenylsulfenylimines في تفاعل staudinger في تفاعل 38 N-phenylsulfenylimines أدى الحامض 33 أدى المخطر 39 disubstituted N-phenylsulfenyl-2-azetidinones-3,4 إلى تكوين 39 cis/trans diastereoselectivity (المخطط 12) [19].

كان اختيار diisopropylethylamine كقاعدة لويس غير نيوكليوفيلي أمرًا أساسيًا لنجاح التفاعل. كانت النواتج cis-diastereomers الرئيسية مع benzloxy و methoxyketene و methoxyketene و trans- قدرة السحب الإلكتروني للمجموعة المعوضة على الإيمين. ومع ذلك، كان الناتج الرئيسي -trans diastereomer مع الإيمينات المشتقة من الألدهيدات الغنية بالإلكترونات.

 $R^1 = i$ -Pr, t-Bu, Ph, 4-Me₂NPh, 4-MeOPh, 4-MeSPh, 4-FPh, 2-FPh, 3-FPh, 4-CF₃Ph, 4-MeCO₂Ph, 4-CNPh, 4-NO₂Ph, 2-pyridyl, 2-furyl, 2-thienyl R = Me, Bn

المخطط 12

تم تحضير 40 وكلوريدات أريل 43 4-alkylidine-2-azetidinones للكيتينات، والتي تتم أريلوكسي أسيتيل 33 [20]. الخطوات المتسلسلة تضمنت تفاعل aza-wittig للكيتينات، والتي تتم إعدادها انياً من كلوريدات الحامض 33، مع 41 triphenylphosphazenes مكوناً كيتينيمات 44، التي بدورها تتفاعل مع الكيتينات بواسطة الإضافة الحلقية [2+2]. قدمت أزيدات الأريل الغنية الكترونيا عوائد أفضل من أزيدات الأريل الفقيرة الكترونيا (المخطط 13).

$$R^{1}-N_{3} \xrightarrow{PPh_{3}, DCE} R^{1}-N=PPh_{3} \xrightarrow{R^{1}-N=PPh_{3}} A_{1} \xrightarrow{Et_{3}N, -5 \text{ °C}, 1h} \left[\begin{array}{c} R^{1}-N=C=CH-OR \\ R^{1}-N=C=CH-OR$$

المخطط 13

تم الاشارة الى طريقة تحضير انتقائية لمركبات A5 trifluoromethylated trans-2-azetidinones باستخدام المخطوعة متنوعة من كلوريدات الأحماض الدهنية في وجود DMEA (المخطط 14)[21].

R = Me, Et, Pr, i-Pr, Bu, t-Bu, CH₂Ph

المخطط 14

قام Deshmukh وزملاؤه باستخدام isosorbide ، الناتج الثانوي من صناعة النشا، لتخليق الدهيدات حلقية كايرالية 46. تتفاعل الإمينات 47 لهذا الدهيد مع كلوريدات الأسيل 33 المقابلة، لتعطي -cis-2 لهذا الدهيد مع كلوريدات الأسيل 48 azetidinones واحد (المخطط 15)[22].

وقد أدى استخدام مشتقات حامض الخليك الكاير الية المشتقة من isosorbide كسلائف للكيتين، إلى نتائج معتدلة إلى منخفضة في الانتقائية diastereoselectivity.

المخطط 15

3.1.2. تطوير محفزات حامضية جديدة:-

ركزت عدة تقارير في السنوات الأخيرة خاصة من Zarei وزملاؤه على الاستخدام الفعال لمحفزات 50 cyanuric chloride-DMF ومعقد 23] 49 diethyl chlorophosphate حامضية جديدة، مثل 52 D M F-dimethyl/diethylsulfate و25]، وstaudinger أو25] وعلات staudinger.

ان تفاعل امينات مختلفة 11 مع حوامض الخليك المعوضة 23 في وجود هذه المواد المحفزة عند درجة حرارة الغرفة ادت إلى الحصول على 2-azetidinones بنسب عائد ممتازة (المخطط 16). وفي الأونة الأخيرة، أفاد فريق Zarei بفعالية وyhosphonitrilic chloride و [27]، و 27]، كمحفزات حامضية فعالة.

المخطط 16

4.1.2. بعض تفاعلات Staudinger الاخرى ذات الانتقائية الفراغية:-

تم الاشارة الى طريقة تحضير ذات انتقائية فراغية لـ 3-1(-3 الاشارة الى طريقة تحضير ذات انتقائية فراغية لـ 3-1(-3 الاشارة الى طريقة تحضير 59 من خلال تفاعل staudinger للإمينات 11 مع حامض 58 azetidinones الذي ادى إلى تكوين 2-azetidinones و 53 (المخطط 17) [29]

المخطط 17

عند معاملة المركبات الأخيرة مع ethylenediamine تم الحصول على ethylenediamine عند معاملة المركبات الأخيرة مع 65 و 57 التي تتفاعل مع 65 و 57 التي تتفاعل مع 58 pyrrole-substituted 2-azetidinones و 59 على التوالي.

كان التفاعل أسرع بكثير تحت تأثير الإشعاع بالموجات فوق الصوتية. الايمينات البولي أروماتية المشتقة من 6-chrysenyl أنتجت ايزومرات (+)-trans بشكل حصري. وجود المجاميع الأروماتية الساحبة للالكترونات عند نهايتي C و N للإمين إلى تكوين ايزومر trans. تم تفسير تكوين ايزومر Banik في حالة إمينات N-chresenyl و diarylimines من خلال ايزومرة الإينولات كما وصفه Banik وزملاؤه [30]. وجود مجموعة بولي أروماتية عند النيتروجين يزيد من استقرارية الايمينيوم، ولكن في حالة وجود مجموعة أروماتية أحادية الحلقة، فإن خاصية السحب الإلكتروني ليست كافية لإجراء ايزومرة كاملة للإينولات مما يؤدي إلى تشكيل مزيج من ايزومر trans و cis .

تم استخدام استراتيجية الطور الصلب لإنتاج سريع لمكتبتين صغيرتين من مركبات 2-azetidinones ذات التركيب الفراغي 3-alkyl trans [31]. بدأت سلسلة التحضير للمكتبة المشتقة من الجلايسين من راتنج Wang المرتبط بـ Wang - 60 أدى إضافة زيادة مضبوطة من كلوريدات الألكانويل (4 مكافئات) وثلاثي إيثيل أمين (8 مكافئات) إلى الأيمينات المرتبطة بالراتنج 61 في التولوين المغلي إلى تكوين trifluoroacetic أدى تحريرها من سطح الراتنج باستخدام حامض diazomthane والمعاملة مع diazomthane إلى الحصول على 3-alkyl 2-azetidinones واحد بانتقائية trans ممتازة (المخطط 18).

المخطط 18

في المكتبة الثانية، تم ربط Wang. تم الحصول و- Wang. تم الحصول بالراتنج Wang. تم الحصول على الأيمين المرتبط بالراتنج 66 من تفاعل aminophenol المرتبط بالراتنج 65 و و و الأيمين المرتبط بالراتنج 66 من تفاعل و phenylpentanoic باستخدام متاعله مع حامض phenylpentanoic باستخدام مركب Mukaiyamas . أدى فصل الراتنج عن 2-azetidinone إلى الحصول على trifluoroacetic (المخطط 19).

المخطط 19

ان الاضافة الحلقية ل staudinger المحفزة بالبلاديوم تنتج N- بنسب مرتفعة مع التقائية جيدة N- النقية إلا في حالات استخدام الإيمين المعوضة ب N- أو ملح N- الذي يحتوي على مجموعة واهبة للإلكترونات[32]. عند تسخين ملح N-

69 tosylhydrazone بوجود محفز من البالاديوم تحت ضغط من أول أكسيد الكربون، يتم انتاج الكيتين انياً الذي يتفاعل مع الإيمينات 11 لإنتاج 2-azetidinones (المخطط 20).

R¹ = Ph, 4-MeOPh, 4-NO₂Ph

R² = Me, Bn, 4-MeOPh

R³ = Ph, 4-MePh, 4-CIPh, 4-MeOPh, 4-MeCO₂Ph, 2,4-Cl₂Ph, 2-naphthyl, 2-furyl

المخطط 20

تم تحقيق تحضير غير متماثل لمركبات 2-azetidinones من خلال تفاعل الإضافة الحلقية [2+2] للكيتين-الإيمين باستخدام الكاربينات الحلقية غير المتجانسة (NHCs) كعوامل مساعدة فعالة [33,34]. تم المتخدام diphenylketene أو 74 triazolium كعوامل مساعدة في تفاعل 73 imidazolinium مع N-tosylaldimines لإعطاء مركبات 2-azetidinones المقابلة بنسب ممتازة (المخطط [35]].

المخطط 21

تم استخدام NHC كايرالي 77، المشتق من L-pyroglutamic acid كعامل مساعد في تفاعل 72 N-tert-butoxycarbonyl arylimines مع مجموعة متنوعة من arylalkylketenes (ee %99 المقابلة بنسب مرتفعة مع انتقائية ممتازة (تصل إلى 99%) (المخطط 22)[36].

المخطط 22

تم الاشارة الى تحضير عالي الانتقائية لمركبات 82 trans-2-azetidinones بواسطة تفاعل [2+2] المناف حلقة بين silyl ketene acetals و imines 80 باستخدام عامل مساعد متعدد الوظائف 81 phosphonium fluoride (مخطط 23) [37].

يقوم العامل المساعد فسفونيوم فلوريد بتنشيط النيوكليوفيل ويوجه أيضًا عملية التفاعل للحصول على ناتج عالي الناتج والانتقائية. يعمل مسبق التحفيز على بدء التفاعل بسبب الالفة العالية لأيون الفلوريد مع مجموعة TMS في مركب silyl ketene acetal. كما كان من الضروري أيضًا وجود حجم كبير للكاتيون الفسفونيوم لتنظيم حالة انتقالية بحيث يُفضل حركيًا مركب trans-diastereomer.

المخطط 23

لقد أشار De Kimpe وزملاؤه عن تخليق De Kimpe وزملاؤه عن تخليق De Kimpe وزملاؤه عن تخليق Staudinger بين الإمينات 11 و Staudinger في 83 chloropentanoyl-5 في وجود 26-6 lutidine (المخطط 24) [38].

CI + R¹-CH=N-R²
$$\frac{2,6\text{-lutidine}}{C_6H_6, \Delta, 72\text{-}144 \text{ h}}$$
 $\frac{R^1}{S^5-87\%}$ 83 11 $\frac{1}{S^5-87\%}$ 84 $R^1 = i$ -Pr, Et, Bn, 4-MeOBn, C-Hex $R^2 = \text{Ph}, 4\text{-MePh}, 4\text{-MeOPh}$

المخطط 24

ذكر Singh وزملاؤه تفاعل الإمينات Singh وزملاؤه تفاعل الإمينات Singh وزملاؤه الذي تم كالمنطقة والمحافظة الإمينات Singh بوجود والمخطط 139 و 2-azidoethanoic acid بوجود (المخطط 139] و triethylamine ، لتكوين 87 cis-3-azido-2-azetidinones (المخطط 159]. ثم تحقق اختزال الأزيد في هذه المركبات لتشكيل 3-amino-2-azetidinones المختلفة المحموعة الأزيد مع مجموعات الألكاينات المختلفة لتحضير 2-azetidinones المرتبطة بالمحتوي المحموعة الأزيد مع مجموعات الأزيدية والأمينية لها أهمية كبيرة في التخليق العضوي ويمكن تحويلها إلى أنواع متنوعة من المركبات التي تحتوي على حلقة بيتا-لاكتام.

المخطط 25

5.1.2. استخدام α-diazocarbonyls كسلائف للكيتين:-

من المعروف أن α -diazocarbonyls ينتج كيتينات تحت ظروف حرارية وفوتوكيميائية [4].

تم الاشارة الى تفاعل فوتوكيميائي لـ 2-diazo-1,2-diphenylethanone مع بعض الإمينات لإنتاج -2 (40) azetidinones . [40]

في الآونة الأخيرة، تم تخليق staudinger 2-azetidinones إلى جيدة بواسطة تفاعل staudinger المحفز بالضوء للإمينات 11 و الدايازو الألكيل/أرايل 89 [41]. والدينات staudinger المحفز بالضوء للإمينات 11 و الدايازو الألكيل/أرايل 89 [41]. المتولدة انياً من التحلل الفوتوكيميائي ل 89 (alkoxy/aryloxyketenes النواتح الإمينات 11 وإعادة ترتيب wolff للكربينات الناتجة[42]، خضعت لتفاعل staudinger مع مختلف الإمينات المخطي 2-azetidinones النواتج الرئيسية لتعطي 2-azetidinones وأو (المخطط 26). كانت trans-2-azetidinones النواتج الرئيسية من الإمينات الخطية ويُرجع ذلك إلى تحويل الإمينات من نوعها trans إلى نوعها cis تحت تأثير الإشعة فوق البنفسجية.

المخطط 26

لقد أشير مؤخرًا الى التفكك الحراري لمركبات 2-diazo-1,2-diarylethanones بوجود إيمينات معوضة عند النيتروجين من 1-methylindole-3-carboxaldehydes معوضة عند النيتروجين من 1-methylindole-3-carboxaldehydes بنسبة مرتفعة (المخطط 27) [43].

هذه 2-azetidinones أظهرت نشاطًا ممتازًا ضد الليشمانيا بالإضافة إلى بعض الأنشطة المضادة للبكتيريا والفطريات وأورام الأكياس التاجية [44].

سابقًا، تم الاشارة الى تفاعلات مماثلة N-salicylideneamines التي أسفرت عن 2-azetidinones تتمتع بنشاط مضاد للبكتيريا والفطريات [45].

R1 = Ph, 4-MePh

R² = Ph, 4-MePh, 4-MeOPh, 4-EtOPh, 4-CIPh

المخطط 27

2.2. الأضافة الحلقية لإستر-إنولات:-

تكاثف الإستر إنولات – الإيمين ينتج 2-azetidinones بنسب جيدة مع انتقائية فراغية أعلى. تم تحفيز التفاعلات بواسطة الزنك [27]، الروديوم[28]، الإنديوم[29]، وثنائي إثيل الزنك[30].

قام Boyer و زملاؤه بدراسة العوامل المؤثرة على التحضير الانتقائي لـ 2-azetidinones و و مع و Boyer مع بيتا-أمينو إسترات 97 أثناء تفاعل Reformatsky لـ Reformatsky مع الإيمينات 11 [27]. النسبة بين بيتا-أمينو إستر وبيتا-لاكتام تعتمد على طبيعة الإيمين وشروط التفاعل.

كانت انتقائية diastereoselectivity التفاعل تعتمد بشكل كبير على طبيعة المساعد الكايرال. وتم 97 gem-difluoro-β-amino esters و 96 gem-difluoro-2-azetidinones بانتقائية نوعية عالية باستخدام إما (R)-methoxyphenylglycinol) أو (R)-phenylglycinol) (المخطط 28).

 $R^1 = Ph$, 4-pyridyl, 3-pyridyl

 $R^2 = (R)$ -phenylglycinol, (R)-methoxyphenylglycinol, (α)-(R)methylbenzylamine, p-methoxybenzylamine

المخطط 28

أدى تفاعل Reformatsky بين Reformatsky بين Reformatsky و الإيمينات 11 إلى تحضير Reformatsky بين Reformatsky بين Reformatsky بين Reformatsky بين النقاعل، 98 والمخطط 29 (المخطط 29) و التفاعل، و التفاعل، أعطت الإيمين الناتجة من تفاعل السيكلو هكسان كاربوكسالدهيد و p-anisidine مزيجًا من النواتج غير المستقرة على جيل السيليكا.

$$Br_2CFCO_2Et + R^1-C=N-R^2$$
 Et_2Zn Et_2Zn Et_2O , -10 °C R^1 Br Et_2O , -10 °C R^1 Br

 R^1 = Ph, 4-CIPh, 4-MeOCOPh, 4-MePh, 4-MeOPh, C-hex R^2 = Bn, 4-MeOBn, 4-MeOPh

المخطط 29

قام Tarui وزملاؤه بالتحضير غير المتماثل لـ Tarui وزملاؤه بالتحضير غير المتماثل لـ Tarui)

عن طريق β-amino ester بنسب معتدلة إلى جيدة مع انتقائية عالية جنبًا إلى جنب مع 103 β-amino ester عن طريق 101 عن الإمينات 101 وعند وع 100 menthyl bromodifluoroacetate-(-) بوجود $\frac{103}{28}$ Reformatsky تلاها حذف تلقائي للمساعد الكيرالي (المخطط 30)[28].

R1 = Ph, 1-naphthyl, 4-MeOPh, 4-CIPh, 4-COOMePh, C-hex, i-Pr

المخطط 30

من بين الإيمينات للألدهايدات الاروماتية، تقدم تلك التي تحمل مجموعات دافعة للإلكترونات انتقائية أعلى (ee 80-87).

تم الاشارة الى تفاعل آخر انتقائي النوعية لتخليق 3-monosubstituted، و, 3-monosubstituted على النوعية لتخليق azetidinones الحاوي على جزيء كاربوهيدراتي عبر تفاعل بوساطة الإنديوم للإيمينات و 2-azetidinones [48]. على سبيل المثال، تفاعل الإيمين المشتق من الكربوهيدرات 104 مع 2-azetidinones وجود الإنديوم أدى إلى تخليق alkyl/phenyl-2-bromoesters (Lazetidinone) و المخطط 31). ان تكوين عرفين 2-azetidinone في الموضع الجديد للنيتروجين (4-2) ذو انتقائية فراغية. يتم تكوين مركز فراغي إضافي في 3-2، وبالتالي يتم الحصول على مزيج من -2 فراغية. يتم التحكم فيه حركيًا هو الأيزومير الرئيسي.

Bn N HC OTBS + Br
$$CO_2Et$$
 In THF 39-61% R/S ratio 1:3-2:3 106

R = Ph, Me, n -Pr

المخطط 31

تم الاشارة الى طريقة مباشرة لتحضير بيتا-لاكتام 109 بنسب معتدلة إلى جيدة ونسب انتقائية فراغية تتراوح بين 22:78 إلى 54:46 (cis:trans) باستخدام مشتقات 108 ETSA هذه المشتقات THF-EtCN في خليط 107 hydroxyphenyl)aldimines -N - (2 في خليط 32). (المخطط 32).

تتمتع هذه الطريقة بميزة على استخدام سلائف الكيتين مثل acyl chlorides أو α-diazocarbonyls لأن مجموعة الهيدروكسيل في الأيمينات لا تحتاج إلى حماية.

HO NaH (1 equiv.), THF

Bn
$$R^2$$
 (1.5 equiv.), EtCN

TMS CO_2Et

108

 $R^1 = H, OMe, Cl, CF_3$
 $R^2 = H, Me$

NaH (1 equiv.), THF

 R^2
 R^2
 $R^3 = H, OMe, Cl, CF_3$
 $R^4 = H, OMe, Cl, CF_3$
 $R^4 = H, OMe, Cl, CF_3$

المخطط 32

ان تفاعل الأيمينات المعوضة عند النيتروجين 110 للاوكسيرينات مع اينولات إسترات الليثيوم المتكونه انياً من تفاعل α -disubstituted esters و LDA ادت الى تحضير انتقائي للبيتا-لاكتامات 113 (بنسبة تصل إلى 99٪) من خلال التحليق للمركب الوسطي 112 (المخطط 33) [51].

المخطط 33

عند استخدام الإسترات المعوضة في الموقع α كسلائف سابقة للإنولات، حدثت تفاعلات جانبية غير متوقعة مع فقدان الانتقائية diastereoselectivity. يعزى ذلك إلى وجود البروتون الحامضي الإضافي بجوار مجموعة الكاربونيل. أعطى الإيمين (3S,S2) الناتج (2S,3S,4R)2-azetidinone (2S,3S,4R)3.

تم تطوير طريقة بثلاث خطوات لتحضير مجموعة متنوعة من β - lactams تم تطوير طريقة بثلاث خطوات لتحضير مجموعة متنوعة من Reformatsky عن طريق التفاعلات بين كاشف

والألديمينات المناسبة 114 [52]. تعتبر 3,3-difluoro-2-azetidinones النواتج الرئيسية أو الوحيدة المعزولة باستثناء في حالة الإيمين الحاوي على مجموعة benzyloxy carbamate .

في الحالة الأخيرة، تم الحصول على بيتا-لاكتام وB-amino ester بنسبة 1:1 بحصيلة جيدة بسبب وجود كاربامات أولية تعيق خطوة الدوران. يؤدي إزالة الحماية عن ذرة النيتروجين في -2 118 2-azetidinones باستخدام نترات الأمونيوم السيريك (CAN) إلى تكوين 116 azetidinones ذات NH حر (المخطط 34).

المخطط 34

3.2. الاضافة الحلقية الألكاين-النترون

تعتبر الاضافة الحلقية الألكاين-النترون، المعروفة بشكل شائع باسم تفاعل Kinugase، أداة قوية لتخليق أنواع متنوعة من البيتا-لاكتام.

التحضير الرسمي لمثبط الكوليسترول الفعال إيزيتيميب 124، استند على تفاعل تكاثف/إعادة ترتيب Kinugase المحفز ب (53]. ابتدا التحضير بتفاعل الألكاين الطرفي 120، المشتق من أسيتونيد L-glyceraldehyde مع C,N-diarylnitrone المخطط 35).

تم الحصول على الاستنويد 121 بانتقائية كبيرة فراغيا، ثم فتح حلقة acetonide لتكوين -2 azetidinone آخر 122. أدى تفكيك glycolic في azetidinone آخر 122. أدى تفكيك azetidinone أخر 122 إلى تشكيل 123 carboxaldehyde

المخطط 35

تم تنفيذ تفاعل Kinugase بكفاءة باستخدام ynamides بكفاءة باستخدام Kinugase تم تنفيذ تفاعل النيترونات 119 مع 3-amino-2-azetidinones قي تحضير مركبات كيرالية ethynyloxazolidin-2-ones والمخطط 126 بانتقائية جزيئية عالية (نسبة 82:18 إلى 25:59) (المخطط 36).

تم توضيح تطبيق هذه المنهجية من خلال التفكك الاختزالي وحماية Boc التالية في 126 مما أدى إلى 127 azetidinone-2 من N-1 من N-1 تكوين A-1 من 127 azetidinone تكوين CAN التشكيل المحادة الم

R¹ = 4-BrPh, 1-naphthyl, styryl, 2-furyl, 2-thienyl, Ph, C-hex

R² = Ph, 4-MeOPh, 4-CIPh, 4-COEt

 R^3 =Ph, *i*-Pr, CHPh₂, Bn

 $R^4 = Ph, H, Me$

المخطط 36

لقد أشار Pezacki وزملاؤه الى تطبيق تفاعل Kinugase "على الماء"في تخليق Pezacki ورملاؤه الى تطبيق تفاعل بواسطة تفاعل Kinugase متعدد المكونات المحفز بواسطة (Cu(I) في الماء [56]. تم اجراء هذا التفاعل لسلسلة diarylnitrones المتكونة انياً مع 131 وسط وسط المني مما أسفر عن تكوين 2-azetidinones في نطاق 45-85٪ مع اميد كناتج ثانوي 133 (المخطط 37).

وفقًا للآلية المقترحة، يقوم Na-ascorbate باختزال (Cu(II) إلى (Cu(II) مما يسمح بتوليد (benzaldehydes انياً بيتفاعل هذا المركب الوسطي مع نيترونات تم توليدها انياً من phenylacetylide معوضة (2+3 و 130 N-phenylhydroxyl من خلال إضافة حلقية [2+3] لتكون حلقة (isoxazoline وإعادة ترتيب oxaziridine الناتج إلى تكوين خليط من -2 معوضات ساحبة azetidinones سيس وترانس. تم الحصول على مردود أعلى لبيتا-لاكتام عند استخدام تعويضات ساحبة للإلكترونات.

X = H, 4-Me, 4-OMe, 2-OMe, 4-Br, 4-CO₂Me, 4-CN, 2-NO₂, 4-NO₂

المخطط 37

معاملة الكحولات والأثيرات البروبارجيلية الكيرالية 134 مع النيترونات الثنائية الاروماتية 119 تؤدي في الغالب إلى cis بيتا-لاكتامات 135 (المخطط 38) [57].

أن الاكسدة/ الايزومرة للناتج cis بمعاملتها بـ PCC ادت لتكوين الايزومير trans . للمرة الأولى، تم استخدام الكحولات البروبارجيلية الكيرالية غير المحمية في تفاعل Kinugase

المخطط 38

تم تنفيذ النسخة غير المتماثلة لهذا التفاعل باستخدام النيترونات 136 والألكاينات الطرفية 137 بوجود (diphenylphosphino)thiohen-2-yl]-4,5--(S)-4-tert-butyl-2-[3 معقد النحاس 130 عمحفز لإنتاج 130 عمحفز لإنتاج 140 و 130 بانتقائية diastereoselectivity جيدة (المخطط 39) [58].

المخطط 39

تعتمد اختيارية diastereoselectivity للنواتج على طبيعة الألكاينات. معظم الألكاينات تعطي نواتج على طبيعة الألكاينات. معظم الألكاينات تعطي نواتج المعتقد كرملاؤه (chen الذي يعطي نواتج trans وقد أشار trifluoromethylacetylene-3,5 باستثناء (oxazoline) عن معقد كيميائي جديد فعال يحتوي على (I)Cu) من نوع كيرال تريس

كعامل مساعد لتفاعل Kinugase للألكاينات الطرفية 141 مع نيترونات 119 C-aryl لتنتج -2 141 لتنتج -1 24 بطريقة انتقائية (المخطط 40) [59].

$$\begin{array}{c} & & \\$$

المخطط 40

تم الاشارة الى تفاعل Kinugase عالى الانتقائية بين نيترونات 136 مع الألكاينات الطرفية 145 في وجود Cu (OTf) ₂ 146 bis-oxazoline لإنتاج 147 azetidinones-2 و 148 (مخطط 41) [60].

المخطط 41

تم توسيع نطاق الاضافة الحلقية للألكاين-النيترون بواسطة Sierra وزملاؤه الذين استخدموا الألكاينات التي تحتوي على المعادن [61]. التي تحتوي على المعادن [61].

4.2. الاضافة الحلقية للألكين-الأيزوسيانات:-

تم استخدام الاضافة الحلقية ل vinyl acetate و 149 vinyl acetate مؤخرًا مؤخرًا مؤخرًا Lee مؤخرًا في تخليق Lee في تخليق Lee في تخليق Lee في تخليق Lee في تخليق 250.

بعد إزالة مجموعة chlorosulfonyl باختزال 2-azetidinones انياً، تم chlorosulfonyl انياً، تم chlorosulfonyl الناتجة من 2-azetidinones باستخدام 153 sodium isopropylthiolate اتعطي -2- الناتجة من 154 azetidinones.

المخطط 42

5.2. تفاعل توري لهاليدات الأليل مع الإيمينات:-

تتفاعل الإيمينات مع بروميد الأليل عن طريق الاضافة الحلقية [2+2] تحت ضغط احادي أوكسيد الكربون في وجود Et_3N , $Pd(OA)_2$ و Et_3N , $Pd(OA)_2$ و Et_3N , $Pd(OA)_2$ الكربون في وجود Et_3N , $Pd(OA)_2$ و Et_3N , $Pd(OA)_2$ الكربونيل تنتج الإمينات غير المتعاقبة مع مجموعة الكربونيل Et_3N , Et_3N

 R^1 = Ph, 2,4-dimethylthiazole, 2-methylbenzothiazole, 4-MePy, 2-MePy, 3-MePy R^2 = t-Bu, n-Bu, i-Pr, Et

المخطط 43

الاضافة الحلقية [2+2] الكاربونيلي ل benzyl halides و phosphates مع الإيمينات 11 في وجود محفز [$PdI_2(Bmim)_2$, أدت الى تكوين 2-azetidinones بطريقة انتقائية جدا (نسبة الترانس / سيس تصل إلى > 5/95) بحصيلة تصل إلى > 5/9 (المخطط 44) [67].

المخطط 44

تم تحضير 3,4-2-Diaryl 3,4 بانتقائية عالية عبر الاضافة الحلقية الكاربونيلية N- المخطط N- البنزيل مع N- المخطط N- الأخرى (المخطط N- الأخرى (المخطط N- الأخرى (المخطط N- الأخرى) المخطط N- الأخرى (المخطط N- الأخرى) المخطط N- الأخرى (المخطط N- الأخرى (المخطط N- المخطط N- المحط N- الم

R = Ph, 2,4-Me₂Ph, 2-Me,4-MeOPh R^1 = 2,4-dimethylthiazole, 2-methylbenzothiazole, 2-MePy, 4-MePy, Ph R^2 = Ph, n-Bu, t-Bu X = Br, Cl

المخطط 45

ظهر أن التعويض على ذرة النيتروجين للإيمينات يؤثر على الانتقائية. أدت مجاميع الفينايل و N-butyl ظهر أن التحليق لتكوين الناتج trans isomer. وعلى العكس، فيما تفضل المجموعة الكبيرة cis isomer التحليق الى الناتج بصورة cis isomer.

6.2. توسيع حلقات Aziridine :-

تم الاشارة الى توسيع حلقة vinyl aziridines المحفزة بالبلاديوم لإنتاج 2-azetidinones (المخطط 46) [69] .

ان الايزومر 2-azetidinones يعتبر الايزومر السائد (100-76-76)) عند استخدام cis الايزومر مناعلة. كان من الممكن عكس انتقائية التفاعل إلى الازومر aziridines كمادة متفاعلة. كان من الممكن عكس انتقائية التفاعل إلى الازومر 160b diastereoselectivity في ضغط عالي من احادي أوكسيد الكربون، وتركيز منخفض من البالاديوم ودرجة حرارة منخفضة. تحللت vinyl aziridine تحت ظروف التفاعل القياسية ولكن أعطت vinyl aziridine في ضغط 50 بار من احادي أوكسيد الكربون. شمل التفاعل قيام Pd (0) الميزومرة vinyl aziridines متبوعًا بالكربونة وإغلاق الحلقة.

Ts Ts
$$Pd_2(dba)_3.CHCl_3 (5 mol\%)$$
 $PPh_3 (0.6 equiv.)$ $PPh_3 (0.6 eq$

المخطط 46

قام Wulff وزملاؤه بنشر دراستهم حول تفاعل حامض Wulff وزملاؤه بنشر دراستهم حول تفاعل حامض Wulff مع 161 مع 2-chloride تحت ظروف مختلفة [70]. لاحظت هذه المجموعة تكون حصري لمركبات 2-chloride في حالة احتواء الازريدين على مجموعة الكيل على موضع 3-2 (المخطط 47).

أن تفاعلات cis-2-aziridines أدت إلى تكوين cis-2-aziridines اما cis-2-azetidinones أن تفاعلات trans-2-aziridines وبالتالى فإن التفاعل هو متخصص فراغيا.

 $R^1 = C$ -hex, Et, n-Pr, i-Pr, i-Bu, tert-Bu $R^2 = CHPh_2$, CH_2Ph , $(3,5-Me_2-4-MeOC_6H_2)_2CH$, (3,5-tert-Bu₂-4-MeOC₆H₂)₂CH,

المخطط 47

$-: N_1-C_2$ التحليق عن طريق تكوين اصرة 7.2

ان المركب 1'-N-sulfinylaminoalkyl-dioxolan-4-ones، الذي تم الحصول عليه عن طريق إزالة N-sulfinylaminoalkyl-dioxolan-4-ones مجموعة الحماية السلفينيلية بفعل الحامض من 1'-3-hydroxy-2-azetidinones كيرالية 3-hydroxy-2-azetidinones كيرالية 3-165 كيرالية 165 بحصيلة وانتقائية جيدة (المخطط 48)[71].

ان عملية التحليق تحدث بفعل القاعدة على dioxolan-4-ones غير المحمية 164 عن طريق هجوم نيوكليفي على الكاربون الكربونيلي يليه فتح حلقة dioxolane ومن ثم تحلل مائي للاستر الناتج للحصول على النواتج النهائية.

R = Me, Ph; $R^1 = Me$, H; $R^2 = Me$, Et, n-Pr, n-Oct; $R^3 = Me$, Et, n-Pr, n-Oct

المخطط 48

في المثال التالي، تم تحليق البيتا-أمينو إستر 169 في وجود LDA لتنتج 2-azetidinones المقابلة بنقاوة عالية (مخطط 49)[72].

dimethyl مباشر ل Mannich اذ تم الحصول على البيتا-أمينو إسترات بواسطة تفاعل مانخ Mannich مباشر ل Mannich ان تم المديبات باستخدام 167 N-(tert-butyl)sulfinylimines مع 166 malonate مع NaI أو NaI كمحفزات قاعدية ومن ثم إزالة مجموعة NaI كمحفزات قاعدية ومن ثم إزالة مجموعة NaI من النواتج 168.

المخطط 49

محلول الفوسفات المائي.ازالة مجموعة الحماية و تحرير مجموعة الأمين في هذا الإستر والتحليق المحفز بالقاعدة انتج 175 3,3-difluoro-4-phenyl-azetidin-2-one (المخطط 50).

المخطط 50

ذكر Melchiorre وزملاؤه تفاعل تحليق لمشتق حامض الأسبارتيك 176 مؤدياً إلى تخليق انتقائي ل -2 Melchiorre وزملاؤه تفاعل تحليق لمشتق حامض الأسبارتيك 176 مؤدياً إلى تخليق انتقائي ل -2 azetidinone (المخطط 51)[74] ان حماية مجموعة الأمين في azetidinone انتج Boc -2-azetidinone (3R,4S)-N-Boc-2-azetidinone)

المخطط 51

ان تفاعل تحليق بيتا-أمينو الكحول 182 يحدث انياً نتيجة الاختزال الهيدروجيني للisoxazolidines (مخطط 52) المتفلور 181، مؤديا لتكوين α-trifluoromethyl-2-azetidinones بنسب مرتفعة (مخطط 175). لقد تم تحضير 1,3-dipolar عن طريق الاضافة الحلقية 1,3-dipolar بين النترون 179 مع الألكينات المفلورة 180.

المخطط 52

 α - و cis و cis و انتقائي فراغيا بواسطة اندماج دis و البيتا-لاكتامات و cis و انتقائي فراغيا بواسطة اندماج و cis و cis و cis بشكل انتقائي فراغيا بواسطة اندماج دis و cis و cis و cis البيتا-لاكتامات البيتامات البيتا-لاكتامات الكتامات البيتا-لاكتامات البيتا-لاكتامات البيتا-لاكتامات البيتا-لاكتامات الكتامات البيتا-لاكتامات الكتامات الك

يؤدي الاختزال الانتقائي لاصرة الازوميثان في iminocyclobutenones بواسطة α- بواسطة المحصول على NaBH₃CN الذي يعيد ترتيبها إلى α- NaBH₃CN الذي يعيد ترتيبها إلى العصول على Raminocyclobutenones الذي يعيد ترتيبها إلى 180 متاه المحموعة الأمينية الى الكربون الكربون الكربونيلي مؤديا إلى تكوين البيتا-لاكتامات 190 و 191 بشكل cis أو trans على التوالي، اعتمادًا على طبيعة القاعدة المستخدمة.

أستخدام القواعد 188a piperazines أدى إلى تكوين البيتا-الاكتامات 190 cis بينما في وجود قواعد أقوى مثل DBN و 188b DBU، تتحول بيتا-الاكتامات الcis إلى بيتا-الاكتامات trans الأكثر استقرارًا 191 (المخطط 53).

المخطط 53

 α -diazo-N-methoxy- باستخدام α -aminoketenes تم الاشارة الى منهجية أخرى تعتمد على تحليق N-methyl (Weinreb)- β -keto amide ، الذي يحتوي على مجموعة أمينية في موضع مناسب، كسلائف للكيتين [77].

تم ملاحظة تكوين 2-azetidinones و 196 بنقاوة فراغيا عند التفكك الضوئي α -diazo-N-methoxy-N-methyl (Weinreb) β -ketoamide لـ 192 مالمخطط 54).

استخدمت المصابيح MVL) (Medium pressure mercury vapor lamp) MVL) و Medium pressure mercury vapor lamp) في التفكك الضوئي, والنوع الأخير قدم بديلاً آمنًا وصديقًا للبيئة لظروف التفكك الضوئي القياسية. تتضمن الألية تحليق الكيتين 194 المتكون انياً لتنتج 194 2-hydroxyazetine.

المخطط 54

ان تحلل α -diazo β -ketoamides ، المشتقة من α -diazo β -ketoamides التحفيز الضوئي أو التحفيز بالروديوم أدى إلى تكوين المركب الوسطي للكيتين α -diazo α -diazo α -liza الضوئي أو التحفيز بالروديوم أدى إلى تكوين المركب الوسطي للكيتين α -diazo α -diaz

يخضع الكيتين للهجوم الضمني من قبل الأمين المحمي بالـtrityl لتوفير مركبات البيتا-لاكتام المحمية بالـ102 trityl

TrHN OBn

TrHN
$$Rh_2(NH(O)CCF_3)_4$$
 $Rh_2(NH(O)CCF_3)_4$
 $Rh_2($

المخطط 55

$-:N_1-C_4$ التحليق بواسطة تكوين اصرة 0.2

يتم تحليق الاسترات المشتقة من 202 L-Cysteine إلى 2-azetidinones الحاوية على thiazlidine المشتقة من methyl sulfonyl chloride ان كسر حلقة 203 thiazolidine باستخدام methoxycarbonylsulfenyl chloride في الحصول على البيتا-لاكتام الأحادي الحلقة 205 بنسبة 65٪ (المخطط 56).

NaBH₄ ،LAH باتت محاولات إزالة الحماية عن النيتروجين في البيتا-لاكتام 205 باستخدام المحاه ، NaBH₄ ،LAH ومسحوق Z_1 وما إلى ذلك بالفشل بسبب تكسير اصرة N_1 - C_4 لحلقة البيتا-لاكتام. في النهاية، تم الوصول الى البيتا-لاكتام 203 بعد إزالة الحماية أولاً عن النيتروجين في البيتا-لاكتام 203 المدمج بالـthiazolidine ، ومن ثم كسر حلقة thiazolidine فيه.

35

إضافة مايكل aza-Michael الضمني المحفزة بهيدروكسيد الصوديوم للاسيتال 206 ومن ثم تفاعل aza-Michael ومن ثم تفاعل استبدال نيوكليوفيلي للفينيل أنتجت aza- 209 azetidinones [80]. تؤدي إضافة مايكل Michael الضمني لذرة النتروجين إلى كربون بيتا غير المشبع للاسيتال 206 تحت ظروف قاعدية، الى توليد مركبات وسطية كربانيونية 207، التي تتم برتنتها في وسط كحولي مائي لتكوين النواتج الوسطية 208 (مخطط 57).

أخيرًا، يؤدي استبدال الكلوريد في المركبات 208 بأيون الألكوكسيد عبر تفاعل الاستبدال الفينيلي النوكليوفيلي إلى تكوين 2-azetidinones بنسب تتراوح بين 41-94٪. في معظم الحالات تم المحصول على الأيزومر (E) فقط. نجحت عملية التحليق في الإيثانول والميثانول ولكن لم تنجح في -tert butoxide على الأرجح بسبب تأثير الاعاقة الفراغية والنوكليوفيلية المنخفضة لأيون tert-butoxide.

R¹-N + C_I aq. NaOH
$$R^{1}$$
-N + R^{1}

المخطط 57

نشر Zhao و Li عن طريقة فعالة للغاية في تخليق Zhao و Li عن طريقة فعالة للغاية في تخليق Zhao عبر اقتران C-N ضمني المحفز بالنحاس ل 81].

$$\begin{array}{c} & \text{Br} \quad \text{NHR}^4 \quad \text{Cul (5 mol \%)} \\ & \text{Me}_2\text{NCH}_2\text{CO}_2\text{H.HCl}} \\ & \text{K}_2\text{CO}_3 \text{ (2 eqiv.), THF, } \Delta \\ & \text{70-99\%} \\ & \textbf{210} \\ & \text{R} = \text{H, Me} \\ & \text{R}^1 = \text{R}^3 = \text{H, C}_6\text{H}_{13}, \text{Me} \\ & \text{R}^2 = \text{H, Me, Bn} \\ & \text{R}^4 = \text{Ph, 4-CO}_2\text{MePh, 4-MePh, 4-MeOPh, C}_{12}\text{H}_{25}, \text{ C-hex, Bn} \\ \end{array}$$

C_3 - التحليق بتكوين الاصرة 9.2

ان اسيلة الاسترات ألفا-أمين 213، الناتجة من Tyr(Bz)-OMe و Tyr(2,6-ClBz)-OMe. و 214 (S)-2-chloropropanoic تتم عبر تكوين الإيمين واختزال الإيمين، مع حامض 214 (S)-2-chloropropanoic للحصول على tert- (المخطط 59) [82]. الناتج 215 تتكون حلقيا بوجود 216 (butylimino)tris(pyrrolidino)phosphorane (BTPP)

المخطط 59

امكن تحضير الاستر 218 ، من تفاعل (S)-2-214 chloropropanoic acid مع الامينو استر 217, من تفاعل (60)-2-218 (المخطط 60) ثم تم تحليق الاستر 218 باستخدام (BTPP) للحصول على 2-azetidinones (83].

المخطط 60

تم نشر طريقة كهروكيميائية ممتازة لتخليق 2-azetidinones عن طريق الاستبدال النيوكليوفيلي كتفاعل رئيسي [84]. أستخدم 221 imidazolium carbine الذي تم توليده كهروكيميائيًا لانتاج الكاربانيونات 222 ابتداءا من α-bromoamides. يؤدي استبدال البروميد بالكربانيون في المركب الوسطي 222 إلى الحصول على 2-azetidinones (المخطط 61).

المخطط 61

أفاد ساكاموتو وزملاؤه بتكوين 4-mercapto-2-azetidinones فعاله بصريًا عن طريق تكوين افاد ساكاموتو وزملاؤه بتكوين γ عبر انتزاع الهيدروجين γ ضمني فوتوكيميائيًا للـ γ عبر انتزاع الهيدروجين γ

عند تعريض الثيوإميدات النشطة بصريًا في محلول التولوين لضوء مرشح بيركس من مصباح زئبق 4-mercapto-2- عالي الضغط بقوة W-500 بوجود غاز الأرجون، تم تكوين ايزومرين ل azetidinones بالإضافة إلى azetidinones (المخطط 62).

المخطط 62

تم الإشارة الى تفاعل ضوئي المحفز لإسترات أميد في الهكسان وفي اوساط غير تقليدية مثل الماء أو شريحه مع ضوء فوق البنفسجي من مصباح زئبقي عالي الضغط [86]. التفكك الضوئي لإسترات أميد 227 في الهكسان اوفي الماء او شريحه انتج البيتا-لاكتام-3-كربوكسيلات المقابلة أو 3-فوسفونات 228 (المخطط 63) بنسب معقولة وفي بعض الحالات بانتقائية جيدة مع عدم الحاجة إلى استخدام محفز معدني. كان التفاعل في الماء بطيئًا نسبيًا واستغرق 48-72 ساعة بينما حدث في حوالي 24 ساعة في الهكسان.

X Ph hv, rt

N₂ Ph n-hexane, water or film

23-72 h

$$X = CO_2Et$$
, PO(OEt)₂, CO₂Me

Yield 48-71% cis:trans 0:1-0.7:1 in water 62-75% 0.1:1-0.5:1 in hexane

المخطط 63

0.2:1-0.5:1 in film

54-56%

10.2. تفاعلات متعددة المكونات:

ان تصميم طرق تتضمن أكثر من مركبين، يُشار إليها بتسمية تفاعلات متعددة المكونات (MCRs)، لتحضير جزيئات معقدة أصبحت مجالًا هامًا للبحث في الكيمياء العضوية والطبية والتركيبية [88-87]. تقلل هذه الاستراتيجيات من عدد خطوات التفاعل، وبالتالي تجنب العديد من الإجراءات المعقدة للتنقية وتوفر كل من المذيبات والمواد الكيميائية.

لقد تم استخدام تفاعلات Ugi متعددة المكونات (MCRs) لبناء مجموعة متنوعة من Ugi متعددة المكونات (MCRs) لبناء مجموعة متنوعة من Ugi و Vishwanatha وزملاؤه [90]. ابتداءا من البيتا-أحماض الأمينية والألدهيدات و isonitriles من قبل 230 isonitriles وزملاؤه [90] لقد استخدم هذا الفريق استر حامض L-aspartic و 229 لمعوضة 230 (المخطط 64).

المخطط 64

يعتقد أن التفاعل يحدث عن طريق الإضافة النيوكليوفيلية للـisonitriles على الإيمينات المبرتنة 233، تليها تحليق للمركبات الوسيطة الناتجة 234 لتكوين oxazepinones (المخطط 65), ثم اعاد ترتيب لحلقة oxazepinones مما يؤدي إلى تكوين نواتج البيتا-لاكتام [90].

$$\begin{array}{c} \text{HO}_2\text{C} \\ \text{H}_2\text{N} \\ \text{R}^1 \end{array} \begin{array}{c} \text{R}^2\text{CHO} \\ \text{H}_2 \\ \text{R}^1 \end{array} \begin{array}{c} \text{R}^2\text{CHO} \\ \text{H}_2 \\ \text{R}^1 \end{array} \begin{array}{c} \text{CO}_2 \\ \text{R}^1 \\ \text{NH} \\ \text{H} \\ \text{R}^2 \end{array} \begin{array}{c} \text{CO}_2 \\ \text{R}^1 \\ \text{HN} \\ \text{C} \\ \text{C} \\ \text{R}^1 \\ \text{HN} \\ \text{C} \\ \text{C} \\ \text{R}^1 \\ \text{HN} \\ \text{R}^2 \end{array} \begin{array}{c} \text{CO}_2 \\ \text{R}_1 \\ \text{HN} \\ \text{R}^2 \\ \text{CO}_2 \\ \text{R}_1 \\ \text{HN} \\ \text{R}^2 \end{array}$$

المخطط 65

وقد قام Wulff وزملاؤه بتطوير منهجيتهم لتخليق متعدد المكونات للـ aziridines من الألدهيدات و thyl ليتحول اخيرا الى 2-azetidinone. [91،70]. ان تفاعل 239 والأمينات و 237 diazoacetate ليتحول اخيرا الى aziridine تلية معاملة aziridine الناتج 239 والأمين 236 تلية معاملة vilsmeier الناتج وقاعدة وكاشف vilsmeier أدى إلى تكوين 2-azetidinone (المخطط 66).

المخطط 66

المصادر

- 1. Staudinger, H. Liebigs Annal. chem. 1907, 356, 51.
- 2. Xu, J. Arkivoc 2009, ix, 21.
- **3**. Tuba, R. Org. Biomol. Chem. 2013, 11, 5976.
- 4. Singh, G. S. Curr. Org. Synth. 2005, 2, 377.
- 5. Bose, A. K.; Banik, B. K.; Manhas, M. S. Tetrahedron Lett. 1995, 36, 213.
- 6. Laborde, M. A.; Mata, E. G. Mini-Rev. Med. Chem. 2006, 6,109.
- 7. Banik, B. K.; Banik, I.; Becker, F. F. Eur. J.Med. Chem. 2010, 45, 846.
- **8.** Marques-Lopez, E.; Martin-Zamora, E.; Diez, E.; Fernandez, R.; Lassaletta, J. M. Eur. J. Org. Chem. 2008, 17, 2960.
- **9**. Islami, M. R.; Allen, A. D.; Vukovic, S.; Tidwell, T. T. Org. Lett. 2011, 13, 494.
- 10. Zarei, M.; Mohamadzadeh, M. Tetrahedron 2011, 67, 5832.
- **11.** Bari, S. S.; Bhalla, A.; Nagpal, Y.; Mehta, S. K.; Bhasin, K. K. J. Organometall. Chem .2010, 695, 1979.
- 12. Bhalla, A.; Venugopalan, P.; Bhasin, K. K.; Bari, S. S. Tetrahedron 2007, 63, 3195.
- **13.** Jarrahpour, A.; Ebrahimi, E.; Khalifeh, R.; Sharghi, H.; Sahraei, M.; Sinou, V.; Latour, C; Brunel, J. M. Tetrahedron 2012, 68, 4740.
- 14. Wang, Z.; Chen, N.; Xu, J. Tetrahedron 2011, 67, 9690.
- 15. Tato, F.; Reboul, V.; Metzner, P. J. Org. Chem. 2008, 73, 7837.
- **16.** Venkateshwarlu, J.; Ramakanth, P.; Meshram, J. S.; Chopde, H. N.; Malladi, L. J. Heterocycl. Chem. 2013, 50, E160.
- 17. Cariou, C. C. A.; Clarkson, G. J.; Shipman, M. J. Org. Chem. 2008, 3,7837
- **18**. D'hooghe, M.; Brabandt, W. V.; Dekeukeleire, S.; Dejaegher, Y.; De Kimpe, N. Chem .Eur. J. 2008, 6336.2008, 3, 9762.
- 19. Coantic, S.; Mouysset, D.; Mignani, S.; Tabart, M.; Stella, L. Tetrahedron 2007, 63, 3205.

- **20**. Yang, Y-Y.; Shou, W-G.; Hong, D.; Wang, Y-G. J. Org. Chem. 2008, 73, 3574.
- 21. Petrik, V.; Roschenthaler, G. V.; Cahard, D. Tetrahedron 2011, 67, 3254.
- **22.** Shaikh, A. L.; Kale, A.S.; Shaikh, M. A.; Puranik, V. G.; Deshmukh, A. R. A. S. Tetrahedron 2007, 63, 3380.
- 23. Zarei, M. J. Chem. Res. 2012, 118.
- **24.** Zarei, M.; Jarrahpour, A. Synlett 2011, 2572.
- 25. Zarei, M.; Karimi-Jaberi, Z.; Movahedi, A. Synth. Commun. 2013, 43, 728.
- 26. Jarrahpour, A.; Zarei, M. Tetrahedron Lett. 2009, 50, 1568.
- 27. Zarei, M. J. Chem. Res. 2013, 25.
- 28. Zarei, M. Tetrahedron 2013, 69, 6620.
- 29. Bandopadhyay, D.; Cruz, J.; Banik, B. K. Tetrahedron 2012, 68, 10686.
- **30**. Banik, B. K.; Banik, I.; Becker, F. F. Bioorg. Med. Chem. 2005, 13, 3611.
- **31.** Delpiccolo, C. M. L.; Testero, S. A.; Leyes, F. N.; Boggian, D. B.; Camacho, C. M.; Mata ,E. G. Tetrahedron 2012, 68, 10780.
- **32.** Zhang, Z.; Liu, Y.; Ling, L.; Li, Y.; Dong, Y.; Gong, M.; Zhao, X.; Zhang, Y.; Wang, J. J. Am. Chem. Soc. 2011, 133, 4330
- **33.** Duguet, N.; Donaldson, A.; Leckie, S. M.; Kallstrom, E. A.; Campbell, C. D.; Shapland, P ;.Brown, T. B.; Slawin, A. M. Z.; Smith, A. D. Tetrahedron: Asymmetry 2010, 21, 601.
- **34.** Duguet, N.; Donaldson, A.; Leckie, S. M.; Douglas, J. Shapland, P.; Brown, T. B.; Slawin ,A. M. Z.; Smith, A. D.; Churchil, G. Tetrahedron: Asymmetry 2010, 21, 582.
- **35.** Duguet, N.; Campbell, C. D.; Slawin, A. M. Z.; Smith, A. D. Org. Biomol. Chem. 2008, 6, 1108.
- 36. Zhang, Y-R.; He, L.; Wu, X.; Shao, P-L.; Ye, S. Org. Lett. 2008, 10, 277.
- 37. Abraham, C. J.; Paull, D. H.; Dogo-Isonagie, C.; Lectka, T. Synlett 2009, 1651.
- 38. D'hooghe, M.; Dejaegher, Y.; De Kimpe, N. Tetrahedron 2008, 64, 4575.

- **39.** Singh, P.; Sachdeva, S.; Raj, R.; Kumar, V.; Mahajan, M. P.; Nasser, S.; Vivas, L.; Gut, J.; Rosenthal, P. J.; Feng, T.-S.; Chibale, K. Bioorg. Med. Chem. Lett. 2011, 21, 4561.
- 40. Singh, G. S.; Pandeya, S. N. J. Chem. Engg. Data 1987, 32, 278.
- 41. Qi, H.; Yang, Z.; Xu, J. Synthesis 2011, 723.
- **42**. Kirmse, W. Eur. J. Org. Chem. 2002, 2193.
- **43.** Singh, G. S.; Al-Kahraman, Y. M. S. A.; Mpadi, D.; Yasinzai, M. Bioorg. Med. Chem. Lett .2012, 22, 5704.
- **44.** Singh, G. S.; Al-Kahraman, Y. M. S. A.; Mpadi, D.; Yasinzai, M. J. Heterocycl. Chem .
- 2013, in press.
- 45. Singh, G. S.; Mbukwa, E.; Pheko, T. Arkivoc 2007, ix, 80.
- **46.** Boyer, N.; Gloanec, P.; Nanteuil, G. D.; Jubault, P.; Quirion, J-C. Tetrahedron 2007, 63, 12352.
- **47.** Tarui, A.; Ozaki, D.; Nakajima, N.; Yokota, Y.; Sokeirik, Y. S.; Sato, K.; Omote, M.; Kumadaki, I.; Ando, A. Tetrahedron Lett. 2008, 49, 3839.
- **48**. Soengas, R. G.; Segade, Y.; Jimenez, C.; Rodriguez, J. Tetrahedron 2011, 67, 2617.
- **49.** Tarui, A.; Kawashima, N.; Sato, K.; Omote, M.; Miwa, Y.; Minami, H.; Ando, A. Tetrahedron Lett. 2010, 51, 2000.
- **50**. Gembus, V.; Poisson, T.; Oudeyer, S.; Marsais, F.; Levacher, V. Synlett 2009, 2437.
- 51. Michel, K.; Frohlich, R.; Wurthwein, E-U. Eur. J. Org. Chem. 2009, 5653.
- **52.** Boyer, N.; Gloanec, P.; Nanteuil, G. D.; Jubault, P.; Quirion, J. C. Eur. J. Org. Chem. 2008, 4277.
- **53.** Michalak, M.; Stodulski, M.; Stecko, S.; Mames, A.; Panfil, I.; Soluch, M.; Furman, B; Chmielewski, M. J. Org. Chem. 2011, 76, 6931.
- 54. Wu, G.; Wong, Y.; Chen, X.; Ding, Z. J. Org. Chem. 1999, 64, 3714.
- **55.** Zhang, X.; Hsung, R. P.; Li, H.; Zhang, Y.; Johnson, W. L.; Figueroa, R. Org. Lett. 2008, 10, 3477.

- **56**. McKay, C. S.; Kennedy, D. C.; Pezacki, J. P. Tetrahedron Lett. 2009, 50, 1893.
- **57.** Michalak, M.; Stodulski, M.; Stecko, S.; Woznica, M.; Staszewska-Krajewska, O.; Kalicki, P.; Furman, B.; Frelek, J.; Chmielewski, M. Tetrahedron 2012, 68, 10806.
- **58**. Coyne, A. G.; Muller-Bunz, H.; Guiry, P. J. Tetrahedron: Asymmetry 2007, 18, 199.
- **59**. Chen, J-H.; Liao, S-H.; Sun, X-L.; Shen, Q.; Tang, Y. Tetrahedron 2012, 68, 5042.
- **60**. Saito, T.; Kikuchi, T.; Tanabe, H.; Yahiro, J.; Otani, T. Tetrahedron Lett. 2009, 50, 4969.
- 61. Baeza, B.; Casarrubios, L.; Sierra, M. A. Chem. Eur. J. 2013, 19, 11536.
- **62**. Lee, S. H. Bull. Korean Chem. Soc. 2013, 34, 121.
- 63. Troisi, L.; Ronzini, L.; Granito, C.; Vitis, L. D.; Pindinelli, E. Tetrahedron 2006, 62, 1564.
- **64**. Torii, S.; Okumoto, H.; Sadakane, M.; Hai, A.; Tanaka, H. Tetrahedron Lett. 1993, 34,6553.
- **65**. Tanaka, H.; Hai, A.; Sadakane, M.; Okumoto, H.; Torii, S. J. Org. Chem. 1994, 59, 3040.
- 66. Troisi, L.; Granito, C.; Pindinelli, E. Tetrahedron 2008, 64, 11632.
- 67. Xie, P.; Qian, B.; Huang, H.; Xia, C. Tetrahedron Lett. 2012, 53, 1613.
- **68**. Troisi, L.; Pindinelli, E.; Strusi, V.; Trinchera, P. Tetrahedron: Asymmetry 2009, 20, 368.
- **69.** Fontana, F.; Tron, G. C.; Barbero, N.; Ferrini, S.; Thomas, S. P.; Aggarwal, V. K. Chem .Commun. 2010, 267.
- 70. Huang, L.; Zhao, W.; Staples, R. J.; Wulff, W. D. Chem. Sci. 2013, 4, 622.
- **71.** Guerrini, A.; Varchi, G.; Samori, C.; Daniele, R.; Arturo, B. Tetrahedron Lett. 2007, 48, 5081.
- 72. Dema, H. K.; Foubelo, F.; Yus, M. Helvetica Chim. Acta 2012, 95, 1790.
- 73. Kashikura, W.; Mori, K.; Akiyama, T. Org. Lett. 2011, 13, 1860.

- **74.** Gianelli, C.; Sambri, L.; Carlone, A.; Bartoli, G.; Melchiorre, P. Angew. Chem. Int. Ed .2008, 47, 8700.
- 75. Jakowiecki, J.; Loska, R.; Makosza, M. J. Org. Chem. 2008, 73, 5436.
- 76. Hachiya, I.; Yoshitomi, T.; Yamaguchi, Y.; Shimizu, M. Org. Lett. 2009,11, 3266.
- 77. Vaske, Y. S. M.; Mahoney, M. E.; Konopelski, J. P.; Rogow, D. L.; McDonald, W. J. J. Am. Chem. Soc. 2010, 132, 11379.
- **78.** Gerstenberger, B. S.; Lin, J. Z.; Mimieux, Y. S.; Brown, L. E.; Oliver, A. G.; Konopelski, J. P. Org. Lett. 2008, 10, 369.
- 79. Lu, X.; Long, T. E. Tetrahedron Lett. 2011, 52, 5051.
- **80.** Yang, Y.; Xiang, D.; Zhao, X.; Liang, Y.; Huang, J.; Dong, D. Tetrahedron 2008, 64,4959.
- 81. Zhao, Q.; Li, C. Org. Lett. 2008, 10, 4037.
- **82.** Perez-Faginas, P.; Aranda, M. T.; Garcia-Lopez, M. T.; Francesch, A.; Cuevas, C; Gonzalez-Muniz, R. Eur. J. Med. Chem. 2011, 46, 5108.
- **83.** Perez-Faginas, P.; Alkorta, I.; Garcia-Lopez, M. T.; Gonzalez-Muniz, R. Tetrahedron Lett .2008, 49, 215.
- **84.** Sotgiu, G.; Chiarotto, I.; Feroci, M.; Orsini, M.; Rossi, L.; Inesi, A. Electrochim. Acta 2008, 53, 7852.
- 85. Sakamoto, M.; Kawanishi, H.; Mino, T.; Fujita, T. Chem. Commun. 2008, 2132.
- **86.** Candeias, N. R.; Gois, P. M. P.; Veiros, L. F.; Afonso, C. A. M. J. Org. Chem. 2008, 73 ,5926.
- **87**. Domling, A.; Wang, W.; Wang, K. Chem. Rev. 2012, 112, 3083.
- 88. Liu, H.; Dou, G.; Shi, D. J. Comb. Chem. 2010, 12, 633.
- **89.** Litvinov, Y. M.; Shestopalov, A. A.; Rodinovskaya, L. A.; Shestopaqlov, A. M. J. Comb .Chem. 2009, 11, 914.
- 90. Vishwanatha, T. M.; Narendra, N.; Sureshbabu, V. V. Tetrahedron Lett. 2011, 52, 5620.
- **91**. Gupta, A. K.; Mukherjee, M.; Wulff, W. D. Org. Lett. 2011, 13, 5866.

